

1. 行星风 (行星力, 卷层)

形成 (Vol. Radiation)

卷层 (行星风, opacity, 行星, 卷层)

卷层 (行星风, 行星, 卷层)

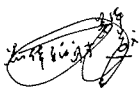
流化 (卷层 → H<sub>2</sub>O → C → 行星, NS/BH)

行星风 (行星风以及行星风行星地物, 行星风)

2. 行星风 (行星风, 行星风, 行星风)

行星风 (行星风, 行星风)

行星风 (行星风, 行星风)



3. 行星风 (行星风)

行星风 (行星风, 行星风)

$$\sigma = \frac{1}{4} \pi^5 \frac{15}{16} \frac{k^4}{15 \pi^6} \frac{15}{16} \frac{1}{15 \pi^6} \frac{15}{16} \frac{1}{15 \pi^6}$$

行星风  $F = \sigma T^4$ , 行星风, Wien 行星风  $\lambda_{max} = \frac{2900 \mu m}{T_K}$

4. 行星风

行星风 (行星风, 行星风)

行星风 (行星风, 行星风)

行星风 (行星风, 行星风)

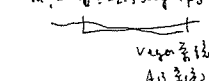
行星风 (行星风, 行星风)

5. 行星风, 行星风, 行星风

$$L_y = \frac{4 \pi R_x^2 \sigma T_x^4}{4 \pi R_x^2}$$

$$F = \frac{L_y}{4 \pi R_x^2} = \sigma T_x^4$$

$$m_1 - m_0 = -2.5 \log \frac{F_1}{F_0}$$



行星风, 行星风

$$M = m - 5 \log \frac{P}{P_0}$$

6. 行星风

行星风 (行星风, 行星风)

行星风 (行星风, 行星风)

行星风 (行星风, 行星风)

行星风 (行星风, 行星风)

行星风 (行星风, 行星风)

$$F = \frac{L}{4 \pi R^2}$$

行星风 (行星风, 行星风)

行星风 (行星风, 行星风)

行星风 (行星风, 行星风)

行星风 (行星风, 行星风)

7. 行星风 (H-R diagram)

行星风 (行星风, 行星风)

行星风 (行星风, 行星风)

行星风 (行星风, 行星风)

行星风 (行星风, 行星风)

行星风 (行星风, 行星风)

行星风 (行星风, 行星风)

8. 行星风 (行星风, 行星风)

行星风 (行星风, 行星风)

行星风 (行星风, 行星风)

行星风 (行星风, 行星风)

$$F = \frac{L}{4 \pi R^2}$$

$$F = \frac{L}{4 \pi R^2}$$

行星风 (行星风, 行星风)

行星风 (行星风, 行星风)

### Ch2 4号号号号

1. 间行  
 引力波  $\sim$  加热  $\rightarrow$  更加快速  $\rightarrow$  中心运动  $0.08 \times 10^4$   
 $\sim$  辐射  $\rightarrow$  H 漫开始冷却 (后记重)

分子云类型  
 M, n, T, R  
 $\downarrow$   
 Translucent clouds  
 Giant molecular clouds  
 Giant molecular clouds cores

### 2. 流场引力场平衡

$$\frac{dP}{dr} + \rho g = 0 \quad \frac{dP}{dr} < 0$$

流场平衡时  $\rho = \frac{GM}{r^2}$   
 表面重力  $g = \text{const}$   
 $P(r) = P(0) e^{-\frac{\rho g r}{P(0)}}$   
 $H = \frac{kT}{\mu m_H g}$  对应流场  
 积分可得中心力  $\approx \frac{GM_c^2}{4\pi R_c^4} T$   
 恒星总质量 + 辐射 + 磁能  
 流场平衡时  $T > \frac{GM_c \mu m_H}{6 R_c^2}$   
 平均温度  
 (恒星中心温度取总力时)

### 3. 引力势能

引力势能  $U = -\frac{GM_c}{r}$   
 $\uparrow$  辐射  
 $\downarrow$  引力势能

$$U = -\int_0^{M_c} \frac{GM(r)}{r} dM \quad \rho = \text{const}$$

引力势能  $\sim$  一团气体的总能量 (使恒星总热)  
 另一部分辐射出去  
 $U = -\frac{3}{5} \frac{GM_c^2}{R_c}$

### 4. 平均温度 (流场平衡, 磁能平衡)

$$M > M_J = \left( \frac{5kT}{\mu m_H g} \right)^{3/2} \left( \frac{3}{4\pi \rho} \right)^{1/2}$$

$\Downarrow$  星体质量

$$\rho > \rho_J = \left( \frac{5kT}{\mu m_H g} \right) \left( \frac{3}{4\pi M^2} \right)$$

$\Downarrow$

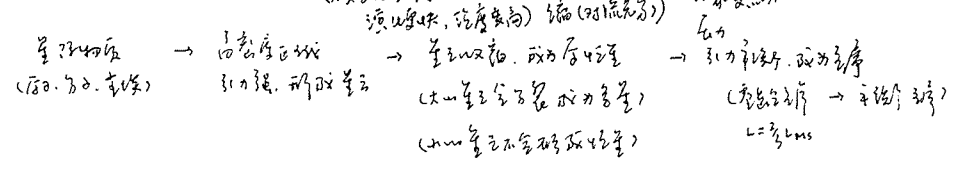
$$r > r_J = \left( \frac{15kT}{4\pi \rho \mu m_H g} \right)^{1/2}$$

辐射  $\rightarrow$  流场 T, 流  $\rho$   $\uparrow$ ,  $M_J$  减小

### 5. 自由下落时间

$$t_{ff} = \left( \frac{3\pi}{32\rho g} \right)^{1/2}$$

### 6. 恒星形成过程



恒星形成  
 引力塌缩时  
 初始温度  
 原始温度

流场平衡  
 流场平衡

### 7. 恒星形成过程

恒星形成  
 恒星形成  
 恒星形成

Ch3 光电效应与光电倍增管

内层电子 → 吸收光子 → 逸出 → 光电效应

1. 光电效应

光电效应分为：  
 ① 外光电效应 (真空管)  
 ② 内光电效应 (半导体)  
 ③ 光电导效应 (光电倍增管)

连续谱 → 截止频率  
 离散谱 → 吸收线

光电效应中电子的逸出功  $\phi$  与材料有关  
 所以  $e$ - $h\nu$  逸出功是常数 (一般取  $\phi = 2.3$ )  
 量子效率  $\eta$  = 逸出电子数 / 入射光子数

逸出功  $\phi = \frac{1}{\lambda_0} = \frac{1}{k_{\lambda 0}} = 152 \text{ nm}$

$$\frac{dI_{\lambda}}{I_{\lambda}} = -k_{\lambda} p ds \quad (\text{光电倍增管}) \rightarrow I_{\lambda} = I_{\lambda 0} e^{-k_{\lambda} p ds} = I_{\lambda 0} e^{-\tau_{\lambda}}$$

$$k_{\lambda} p = n \sigma_{\lambda}$$

光深  $\tau_{\lambda} = \int k_{\lambda} p ds$  光深

光电倍增管

光电倍增管

光电倍增管 (倍增) 连续谱光电倍增管  $K_{\lambda}$

(包括电子倍增管, dynode 倍增)  
 3.40 eV  $\lambda = 364 \text{ nm}$   $\lambda = 6 \text{ eV}$   $\lambda = 206 \text{ nm}$  倍增  $\lambda = 100 \text{ nm}$  倍增

自由电子吸收

散射 (电子-光子相互作用)  
 光电效应: 光子-原子相互作用  
 康普顿效应: 光子-自由电子相互作用

与吸收无关  $\text{KES } P = \sigma_e n_e$   
 电子吸收截面  $\sigma_e$  与  $h\nu$  成反比  
 光电倍增管中  $h\nu$  成反比  
 光电倍增管中  $h\nu$  成反比

$\sim \frac{1}{\lambda^4}$   
 光电倍增管中 Compton 散射

光子光电效应 (光电倍增管) 产生吸收带  
 光电倍增管 光电倍增管中光电倍增管

$H^-$  光电倍增管  $0.754 \text{ eV}$ ,  $1640 \text{ nm}$  产生连续谱  
 光电倍增管中光电倍增管

光电倍增管

$$K_{\lambda} = K_{\lambda}(bb) + K_{\lambda}(bf) + K_{\lambda}(cf) + K_{\lambda}(cs) + K_{\lambda}(H^-)$$

与光电倍增管, 光电倍增管有关

光电倍增管  $\frac{1}{K} = \frac{\int_0^{\infty} \frac{dI_{\lambda}}{I_{\lambda}}}{\int_0^{\infty} \frac{dI_{\lambda}}{I_{\lambda}}}$   $K_{\lambda}(\tau) = \frac{\sigma_{\lambda} \tau}{\pi}$

光电倍增管中光电倍增管  
 光电倍增管中光电倍增管

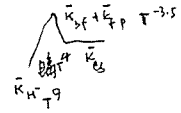
$$\bar{K}_{bf} = 4.34 \times 10^5 \frac{q_{bf}}{t} \frac{p}{F_{1.5}} m^2 / \mu g$$

$$\bar{K}_{cf} = 3.68 \times 10^{22} \frac{q_{cf}}{t} (1-2)(1+x) \frac{p}{F_{1.5}} m^2 / \mu g$$

$$\bar{K}_{cs} = 0.2 (1+x) m^2 / \mu g$$

$$\bar{K}_{H^-} = 7.9 \times 10^{-24} \frac{q_{H^-}}{t} p^{1.2} m^2 / \mu g \quad (3000 \sim 6000 \text{ K})$$

$q_{bf} \approx q_{cf} \approx 1$ ,  $\bar{K}_{bf} + \bar{K}_{cf} \sim \frac{p}{F_{1.5}} K_0$   
 (Kramer's Law)



2. 光电倍增管

光电倍增管  $\frac{\delta E}{dA dx dx dx} = I_{\lambda}(\lambda, \lambda)$ ,  $I_{\lambda} = \frac{c}{\lambda^2} I_0$

光电倍增管  $I_{\lambda} = \langle I_{\lambda} \rangle = \frac{1}{4\pi} \int I_0 d\Omega$  光电倍增管  $I_{\lambda} = I_0 \frac{1}{4\pi} \int \cos^2 \theta d\Omega$

光电倍增管  $F_{\lambda} = \int I_0 \cos^2 \theta d\Omega$   $F_{\lambda}(0 \sim 2\pi) = 0$   
 $F_{\lambda}(0 \sim \pi) = \pi I_0$

光电倍增管中光电倍增管  
 (光电倍增管中光电倍增管)

光电倍增管  $v_{\lambda} = \frac{1}{4\pi} \langle I_{\lambda} \rangle$

光电倍增管  $v_{\lambda} = \int_0^{\infty} v_{\lambda} dv_{\lambda} = a \tau^4$   
 $7.566 \times 10^{-16} \text{ erg} \cdot \text{cm}^{-3} \cdot \text{K}^{-4}$   
 $a c = 4 \sigma$

3. 光电倍增管

光电倍增管 model:  $\tau_{\lambda} = \sqrt{N} = \frac{d}{l} \frac{1}{\rho k_{\lambda} d}$

光电倍增管中光电倍增管  
 光电倍增管中光电倍增管

光电倍增管中光电倍增管  $dI_{\lambda} = -k_{\lambda} p ds$  光电倍增管  
 $dI_{\lambda} = j_{\lambda} p ds$  光电倍增管  
 $dI_{\lambda} = -k_{\lambda} p I_{\lambda} ds + j_{\lambda} p ds$   
 $\Rightarrow \frac{1}{k_{\lambda} p} \frac{dI_{\lambda}}{ds} = I_{\lambda} - S_{\lambda}$   
 光电倍增管中光电倍增管

光电倍增管  $\frac{dI_{\lambda}}{ds} \cos \theta = I_{\lambda} - S_{\lambda}$

光电倍增管  $\frac{dI}{ds} \cos \theta = I - S$

光电倍增管  $\frac{dI_{\text{total}}}{ds} = \mu \pi \langle I \rangle - S$

光电倍增管  $\frac{dI_{\text{total}}}{ds} = \frac{I_{\text{total}}}{c}$  (光电倍增管中光电倍增管)

光电倍增管  $I = I_{\text{in}} + I_{\text{out}}$ , 光电倍增管  $I_{\text{in}} = 0$   
 $\langle I \rangle = \frac{1}{2} (I_{\text{out}} + I_{\text{in}})$   $I_{\text{total}} = \pi (I_{\text{out}} - I_{\text{in}})$   $I_{\text{total}} = \frac{4\pi}{3c} \langle I \rangle = \frac{1}{3} v$

8. 史铁西 - 宇宙学方程

史铁西方程

$$\langle T \rangle = \frac{3 F_{rad}}{4\pi} (T_e + \frac{2}{3}) \Rightarrow T_e = \frac{3}{4} \frac{F_{rad}}{\sigma T_{eff}^4} (T_e + \frac{2}{3})$$

在  $T = T_{eff}$  时  $T = T_{eff}$   
 所以有  $T_{eff} = T_e = T_e$  处  
 看到  $T_{eff}$  光层由  $T = T_e$  处向外逃逸

4. 局部热平衡方程

局部热平衡方程  $\Leftrightarrow$  光子平均自由程  $\ll$  流体宏观尺度, 且碰撞与电离地位  
 LTE  $\Rightarrow$  Maxwell 分布, 平衡比和温度分布,  $S_0 = B_0 = I_0$   
 Saha (Tex)  $(T_{color})$   
 Boltzmann (Tion) 光子吸收和发射速率方程  
 各种谱线度都相同  
 非热平衡方程: 辐射有显著贡献  
 Non-LTE 在 H 和 He 谱线重要 (密度低)

太阳大气  $\rightarrow$  大部分为局部热平衡方程 ( $H_T = 600 \text{ km}$ )  
 $z = 0.1 \text{ km}$   
 但对光子来说, 逃逸到在  $z = 0$  处不透明光层

9. 恒星内部辐射平衡和能量传输

5. 恒星内部辐射平衡方程

平均辐射平衡方程  $\Rightarrow dT_e = \frac{dT_e(z)}{dz} dz$

$$I_{L}(0) = I_e(T_e) e^{-\tau_0} - \int_0^{\tau_0} S_e e^{-\tau} d\tau \quad \left. \begin{array}{l} I_{L}(0) = a_0 + b_0 \cos \theta \\ \text{近似为 } Eddington \text{ 近似} \\ \frac{I_{L}(0)}{I_{L}(0=0)} = \frac{2}{3} + \frac{3}{5} \cos^2 \theta \end{array} \right\}$$

近似  $S_e = a_0 + b_0 \tau$

6. 恒星内部平衡

辐射平衡与能量守恒 (能量守恒不成立)  
 $\int_0^{\tau_0} (S_e - B_e) d\tau = 0$  所以  $B_e = S_e$   
 局部平衡方程

7. 大光球处, 辐射平衡与热平衡

在  $B_e(\tau)$  处开流, 流入与流出平衡

$$S_e(\tau) = B_e(\tau) = \sum_{n=0}^{\infty} \frac{d^n B_0}{d\tau^n} \frac{1}{n!} \tau^n$$

$$I_{L,0} = \sum_{n=0}^{\infty} \frac{d^n B_0}{d\tau^n} \frac{1}{n!} \tau^n \Big|_{\tau=0}$$

$$J_{L,0} = \frac{1}{2} \int_0^{\tau_0} I_{L,0} d\tau = B_0 + \frac{1}{3} \frac{d^2 B_0}{d\tau^2} + \dots, \quad \frac{B_0}{B_0} = \frac{1}{2} \text{ 近似为 } \frac{1}{2}$$

近似有

$$I_{L,0} \approx B_0 + \omega \frac{dB_0}{d\tau}$$

$$J_{L,0} \approx B_0$$

$$H_{L,0} = \frac{F_0}{4\pi} \approx \frac{1}{3} \frac{dB_0}{d\tau} = -\frac{1}{3k_p} \frac{dB_0}{dT} \frac{dT}{dz}$$

大  $k_p$ ,  $H_0$  弱  
 大  $k_p$  强,  $H_0$  强  
 $H_0$  与  $B_0$  成正比

1. 简介

恒星 model (恒星  $T=10^2-10^3$ ,  $\sim 10^4 R_{star}$ ,  $\sim 10^9 M_{star}$ )  
恒星大气 4 层模型 (对流层, 辐射层, 光球层, 色球层)  $\rightarrow$  辐射层与对流层观测比重要  
即 T,  $\rho$  对辐射层的影响

指导我们 恒星大气模型  
指导恒星大气模型与演化

定义  
大气: 光球层下, 辐射层或对流层  
恒星大气: 温度是  $\rho$  的函数

2. 恒星大气

$K_{22} \equiv K$  恒星  
辐射平衡:  $\int_0^{\infty} k_{\lambda} (S_{\lambda} - B_{\lambda}) d\lambda = 0 \Rightarrow J_{\lambda} = B_{\lambda}$   
 $J = B = \frac{\sigma T^4}{\pi}$

恒星大气  $T = T_{eff} [\frac{3}{4}(\tau + \frac{2}{3})]^{1/4}$   
向下辐射 profile  $H = \frac{\sigma T_{eff}^4}{4\pi}$  为 Edington flux

$J(\tau) = 3H(\tau + \frac{2}{3}) = 3H(\tau + q(\tau))$   
恒星大气 表面  $q(\infty) \approx \frac{2}{3}$

4. 恒星大气层及原子谱线形成

谱线深度  $A_{\lambda} = 1 - \frac{F_{\lambda}}{F_c} \sim$  谱线吸收系数 与谱线宽度  $\propto \lambda_{\lambda}$   
谱线宽度  $w = \int (1 - \frac{F_{\lambda}}{F_c}) d\lambda$  用积分估计谱线吸收系数与谱线宽度

谱线形成的形成

相对论效应  
量子谱线

$k_{\lambda} = k_{\lambda}^{\downarrow} + k_{\lambda}^{\uparrow}$   
 $A_{\lambda} = \frac{B(\tau = \frac{2}{3}) - B(\tau = \frac{2}{3} + \Delta\tau)}{B(\tau = \frac{2}{3})} \approx -\frac{dB_{\lambda}}{d\tau} \Big|_{\frac{2}{3}} \Delta\tau \approx \frac{d \ln B_{\lambda}}{d \ln \tau} \Big|_{\frac{2}{3}} \frac{2}{3} \frac{d \ln \tau}{d \ln \lambda} \propto$  元素丰度

恒星大气中  $\frac{dB_{\lambda}}{d\tau} = 0 \Rightarrow$  无谱线形成  
恒星大气中 有谱线

生成曲线

$n_{ion} \uparrow \Rightarrow$  吸收系数  $\uparrow$  谱线深度  $\uparrow$   $\Rightarrow$  更大深度时, 无谱线形成 (吸收系数也变大)

$w_{\lambda} \propto \lambda^{\alpha}$  (H $\alpha$  线)  $w_{\lambda} \propto \sqrt{\lambda}$  (H $\beta$  线)  $w_{\lambda} \propto \sqrt{\lambda}$  (H $\gamma$  线)

生成曲线:  $w_{\lambda}$  与元素丰度关系

与元素丰度, 电离度, 谱线深度, 谱线吸收系数, 谱线深度, 电子密度

生成曲线是谱线形成 (化学分析)

5. 恒星 model (恒星大气层模型, 辐射, 观测)

恒星大气  $M, R, L$  恒星大气  $\rightarrow$  恒星  $50 \sim 100 \rightarrow T(\tau), S(\tau), P(\tau), T(\tau)$

(S, P)  
表示恒星大气  
( $T < 10^3, R < 10^8$ )  
太阳大气

3. 恒星不透明度的谱线吸收

恒星大气层模型, 恒星大气  
有谱线形成 (元素丰度, 压力)

恒星不透明度的原因  $\sim$  的谱线

谱线吸收

自然吸收  $\sim$  吸收系数  $\propto \frac{1}{\lambda^2}$   
共振吸收  
压力 (碰撞) 吸收

Lorentz profile  $\sigma_{\lambda} = \frac{f_{\lambda}^2}{(c - v_{\lambda})^2 + (\frac{\Gamma}{4\pi})^2}$   
对  $\lambda$  不敏感, 对  $v_{\lambda}$  敏感  
在谱线中心  
 $\sigma_{\lambda}$  是总吸收  $\Delta\lambda = \frac{\lambda^2}{2\pi c} (\frac{\Gamma}{\lambda} + \frac{\Gamma}{\lambda_0})$   
初始谱线

谱线吸收  $\vec{v} = \sqrt{\frac{8kT}{\pi m}}$  (m.s.,  $\vec{v}$  分布是 Maxwell 分布)  
 $v_0 = \sqrt{\frac{2kT}{m}}$  (最可几)  
谱线吸收  $\Delta\lambda_0 = \frac{\lambda_0^2}{c} \sqrt{\frac{2kT}{m}}$  谱线中心  $\Delta\lambda_0$  与  $\lambda_0$  成正比

表面压力  $\rightarrow$  不同谱线  $\rightarrow$  不同谱线  
在恒星大气中  
谱线吸收  $\Delta\lambda_0 = \frac{\lambda_0^2}{c} \sqrt{\frac{2kT}{m}}$  谱线中心  $\Delta\lambda_0$  与  $\lambda_0$  成正比

平均碰撞时间  $\Delta t_0 = \frac{1}{n \sigma_0} \sqrt{\frac{m}{2kT}}$   
碰撞时间

$\Delta\lambda_0 = \frac{\lambda_0^2}{\pi c} \frac{1}{\Delta t_0} \propto n$   
谱线 (Zeeman 效应) 也导致谱线

谱线吸收  $\Delta\lambda_0 = \frac{\lambda_0^2}{c} \sqrt{\frac{2kT}{m}}$   
谱线吸收  $\Delta\lambda_0 = \frac{\lambda_0^2}{c} \sqrt{\frac{2kT}{m}}$   
谱线吸收  $\Delta\lambda_0 = \frac{\lambda_0^2}{c} \sqrt{\frac{2kT}{m}}$   
谱线吸收  $\Delta\lambda_0 = \frac{\lambda_0^2}{c} \sqrt{\frac{2kT}{m}}$

Ch5 内部结构

气层的内面: 引力  
 辐射  
 对流与传导, 辐射传热

对流层: 不稳定  
 对流层 (所有物理量都随r而变)  
 孤立, 简单体系

1 简介

恒星结构 → 平衡态的恒星  
 的应用 → 计算恒星

2. 4层恒星模型

$\frac{dM(r)}{dr} = 4\pi r^2 \rho(r)$  (质量守恒方程)

$\frac{dP(r)}{dr} + \rho g = 0$  (流体静力学方程) → 广义~4倍收缩, 右端是  $-\rho \frac{dr}{dt}$   
 称为流体静力学方程

$\frac{dT}{dr} + \frac{3k_B \rho}{64\pi r^2 T^3} L = 0$  (辐射传输方程)  
 $T_{eff} = (P_g)^{1/2}$   
 $T_{exp} = R (P_g)^{1/2}$  向右加常数, 却是静力学平衡

对流层: 不稳定  
 辐射层:  $H_{rad} = -\frac{1}{3k_B \rho} \frac{dL}{dr}$   
 对流层:  $H_{conv} = \frac{\alpha \Delta T}{d \ln P} = \frac{3k_B \rho L}{64\pi r^2 g T^4}$   
 对流层:  $H_{conv} = \frac{\alpha \Delta T}{d \ln P}$   
 对流层:  $H_{conv} = \frac{\alpha \Delta T}{d \ln P}$

$\frac{dL}{dr} = 4\pi r^2 \rho(r) \epsilon(r)$  (光度方程)

对流层: 不稳定  
 辐射层:  $\epsilon > 0$   
 对流层:  $\epsilon > 0$

其他条件:  $P(r, T, X_i) = 0$  (状态方程)  
 $K_{R}(r, T, X_i)$  (辐射不透明系数)  
 $\epsilon(r, T, X_i)$  (核能产生率)  
 恒星: 对流, 辐射, 对流, 辐射

边界条件:  $L(r=0) = 0, M(r=0) = 0$   
 $P(r=R_s) = 0, \rho(r=R_s) = 0, T(r=R_s) = 0$

对流层:  $H_{conv} = -\frac{dL}{dr} = \frac{1}{3k_B \rho} \frac{dL}{dr}$   
 $K_{total} = \frac{1}{K_{rad}} + \frac{1}{K_R}$

当  $K_R$  很大或  $L$  很大时,  $\frac{dL}{dr}$  很大, 产生对流  
 对流层:  $\frac{dL}{dr} > \frac{1}{3} = \frac{dL_{rad}}{dr}$   
 对流层:  $\frac{dL}{dr} > \frac{1}{3} = \frac{dL_{rad}}{dr}$   
 对流层:  $\frac{dL}{dr} > \frac{1}{3} = \frac{dL_{rad}}{dr}$

3. 3层4层模型

Voigt-Russell 图: M, 恒星演化图  
 内部结构  
 流体力学

3层模型: 对流层, 辐射层, 对流层  
 对流层: 不稳定  
 辐射层: 稳定

$P = K \rho^{\gamma}$   
 $\gamma = 0$  理想  
 $\gamma = 1$  理想  
 $\gamma = \infty$  理想  
 $\gamma = 1 + \frac{1}{n}$ , n为自由度

$\frac{1}{r^2} \frac{d}{dr} \left( r^2 \frac{dP}{dr} \right) = -4\pi \rho P$   
 $P = \rho c^2 \theta^n$   
 $r = \alpha \xi, \alpha = \left\{ \frac{(n+1)k}{4\pi G} \rho_c^{\frac{n-1}{n}} \right\}^{1/2}$   
 $\theta^n + \frac{1}{\xi^2} \frac{d}{d\xi} \left( \xi^2 \frac{d\theta}{d\xi} \right) = 0$  (Lane-Emden方程)

4层模型:  $\theta = -\frac{\xi^2}{2} + 1, n=0$

$\theta = \frac{\sin \xi}{\xi}, n=1$   
 $\theta = \frac{1}{\sqrt{1+\xi^2}}, n=5$

对流层:  $H_{conv} = \frac{\alpha \Delta T}{d \ln P}$   
 $M_{*} = 4\pi a^3 \rho_c \int_0^{\xi_1} \xi^2 \theta^n d\xi$   
 $R_{*} = \alpha \xi_R = \left[ \frac{K(n+1)}{4\pi G} \right]^{1/2} \rho_c^{\frac{n-1}{2n}} \xi_R$

应用: 对流层:  $P = K \rho^{\gamma}$ ,  $n=1$   
 辐射层:  $P = K \rho^{\gamma}$ ,  $n=5$   
 对流层:  $P = K \rho^{\gamma}$   
 辐射层:  $P = K \rho^{\gamma}$   
 对流层:  $P = K \rho^{\gamma}$   
 辐射层:  $P = K \rho^{\gamma}$

对流层: 不稳定

$H_{conv} = H_{rad} + H_{cond}$   
 $H_{conv} = H_{rad} + H_{cond}$

$\frac{dL_{conv}}{dr} = -\frac{P}{r} = -\frac{1}{r} P$   
 $H_{conv} = \frac{P}{8\pi} \frac{dT}{dr} \frac{1}{T} (\nabla_{mech} - \nabla_{cell})$   
 $(g H_p)^2 < \left( \frac{1}{r} \right) (\nabla_{mech} - \nabla_{cell})$   
 对流层:  $\frac{dL}{dr} > \frac{1}{3} = \frac{dL_{rad}}{dr}$   
 对流层:  $\frac{dL}{dr} > \frac{1}{3} = \frac{dL_{rad}}{dr}$

4. 太阳内部结构

核区  $\sim 0.25 R_0$  辐射区  $\sim 0.7 R_0$  对流区  $\sim R_0$  大气

$\left\{ \begin{array}{l} \text{光球} \quad 100 \text{ km} \\ \text{色球} \quad 2000 \text{ km}, 10^4 \text{ K} \\ \text{日冕} \quad 10^6 \text{ km}, 10^6 \text{ K} \end{array} \right.$

5. 辐射方程

$$P = P_g + P_r \xrightarrow[\text{理想气体}]{\text{完全电离}} P_i + P_e + P_r \approx \frac{a}{3} T^4$$

$$\approx R_g T \left( \frac{1}{\mu_i} + \frac{1}{\mu_e} \right)$$

总压  $P = P_g + P_r$

简化条件  $\left\{ \begin{array}{l} P_e \sim \rho^{5/3} \text{ 非相对论} \\ P_r \sim \rho^{4/3} \text{ 非相对论} \end{array} \right.$   
 非相对论  $\lambda_D n^{1/3} \gg 1$   $\uparrow$  碰撞频率  
 $\frac{2(\hbar)}{2\pi m_e v_T} \gg \frac{\hbar c}{2kT}$   
 非相对论  $\uparrow$  非相对论  
 电子质量简并, 此时电子可视为  
 理想气体  $P_i \ll P_e$

6. 恒星振荡

定义: 不规则地随时间变化  
 分类:  $\left\{ \begin{array}{l} \text{总星} \text{ (恒星, 银河, 星系)} \\ \text{恒星} \text{ (不同恒星的不同层)} \\ \text{恒星} \text{ (不同恒星的不同层)} \\ \text{恒星} \text{ (不同恒星的不同层)} \end{array} \right.$   
 周期:  $3-10 \text{ Mo}$   $0.5 \text{ Mo}$   
 总星周期 (恒星, 星系)  $\sim$  恒星周期 (恒星, 星系)  
 $\uparrow$  恒星周期 (恒星, 星系)  $\sim$  恒星周期 (恒星, 星系)  
 $\text{Period} \approx 2 \int_0^{R_p} \frac{dr}{v(r)}$   $\sqrt{\frac{g}{\rho}}$   $\sqrt{\rho + \rho_x}$   $\text{Period}$   $L$   
 恒星周期 (恒星, 星系)  $\sim$  恒星周期 (恒星, 星系)  
 恒星周期 (恒星, 星系)  $\sim$  恒星周期 (恒星, 星系)

恒星  $\rightarrow$  可研究恒星内部  
 $\left\{ \begin{array}{l} \text{总星} \text{ (恒星, 银河, 星系)} \\ \text{恒星} \text{ (不同恒星的不同层)} \\ \text{恒星} \text{ (不同恒星的不同层)} \end{array} \right.$   
 恒星: Kappa 机制, 对流, 动力学机制

Kappa 机制  
 $\text{He II} \rightarrow \text{He III}$  对氦的共振  
 不透明性  $\uparrow$  不透明性  $\uparrow$

1. 原子核内部结构

核  $\left\{ \begin{array}{l} \text{尺度 } 10^{-15} \text{ m} \\ \text{力: 强核力, 弱核力, 库仑力} \\ \text{组成: 质子, 中子} \\ \text{原理: 电荷守恒, 重子数守恒, 轻子数守恒} \end{array} \right.$

原子核 model

液滴 model. 可证  $M(Z, A) \rightarrow$  平均结合能

$$E = E_{vol} + E_{surf} + E_{coul} + E_{sym} + E_{pair}$$

$$\begin{matrix} \downarrow & \downarrow & \downarrow & \downarrow & \downarrow \\ a_{vol} A & -a_{surf} A^{2/3} & -\frac{a_{coul} Z^2}{A} & -a_{sym} \frac{(Z-A)^2}{A} & \pm \frac{a_{pair}}{A^{3/4}} \end{matrix}$$

壳层 model 量子态 model  
 壳层  $\rightarrow$  壳层填充 壳层模型

2. 核反应产生

库仑势垒  $E_{pot} \approx \frac{Z_1 Z_2 e^2}{4\pi\epsilon_0 r} \leftrightarrow E_k \approx \frac{3}{2} kT$

prob (fusion)  $\propto e^{-\frac{m v^2}{2kT}} e^{-\frac{\pi Z_1 Z_2 e^2}{2\hbar v}}$

前者来由: 最大速率 伽莫夫因子  
 后者来由: 量子隧穿  
 $u(r) + v_{coul} = E_{pot}$

核反应中的守恒: Einstein 质能关系  $\Delta E = \Delta m c^2 = [Z m_p + (A - Z) m_n - m_{nucleus}] c^2$

Fe 是恒星中最后一个核  
 平均寿命的分布  $\rho \sim \frac{1}{Fe} \sim A$ . 恒星演化图

3. 恒星内部的核合成

P-P chain	$M < 2 M_{\odot}$ $T \approx 7 \times 10^6 \sim 2 \times 10^7$	$7 \times 10^6$ $1.3 \times 10^7$ $3 \times 10^7$ K 有 PPI, PPII, PPIII $E \sim p T^4 x^2$	$\rightarrow$ 氢, 氦, 锂, 铍, 硼
CNO - cycle	$M > 2 M_{\odot}$	CNO 循环 速率 $\sim 1$ $\xi \sim p T^{19.9} x x_{CNO}$ $\xi \sim T^{40} p^2 y^3$	$\rightarrow$ 氦, 碳, 氮, 氧
3-alpha	$3 M_{\odot} \sim 8 M_{\odot}$ $4 \times 10^8$ K		$\rightarrow$ 碳
Helium burning	$\approx 6.5 M_{\odot} \sim 1 \times 10^9$ K		$\rightarrow$ 氦, Ne, Mg, O
O	$\approx 10 M_{\odot}$ $> 1 \times 10^9$ K		$\rightarrow$ 氦, P, S, Si
Si	$\approx 20 M_{\odot}$ $> 3 \times 10^9$ K		$\rightarrow$ 氦, P, S, Si 不可再发生 Fe

4. 恒星内部的核合成

恒星内部核合成  $\leftarrow$  恒星内部核合成 (恒星内部)  
 恒星内部核合成 (恒星内部)  
 恒星内部核合成 (恒星内部)

恒星内部核合成 (恒星内部核合成)  
 恒星内部核合成 (恒星内部核合成)  
 S-过程 (中子俘获核反应), AGB 阶段  
 r-过程 (中子俘获核反应), core-collapse 阶段  
 rp-过程 (快中子俘获核反应), 双中子星合并

恒星内部核合成问题

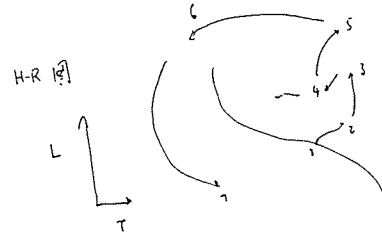
恒星内部核合成  $\sim 5\%$  以内核合成  
 (恒星内部核合成)  
 恒星内部核合成  $\left\{ \begin{array}{l} \text{恒星内部核合成} \rightarrow \text{恒星内部核合成} \\ \text{恒星内部核合成} \rightarrow \text{恒星内部核合成} \end{array} \right.$



恒星 质量 0.08M<sub>☉</sub> ~ 2M<sub>☉</sub> 1  
 { 中等质量 2M<sub>☉</sub> ~ 8M<sub>☉</sub> 10  
 大质量 > 8M<sub>☉</sub> 100

恒星寿命 ~ 150 Myr

恒星演化 内部结构  
 { evolve 和恒星  
 2 种模型不同



一. 小质量恒星 → 流化

恒星演化到后期 → 流化  
 恒星演化到后期 → 流化  
 恒星演化到后期 → 流化

恒星演化到后期 → 流化  
 恒星演化到后期 → 流化

恒星演化到后期 → 流化  
 恒星演化到后期 → 流化

Hayashi 线

3000 ~ 5000 K 恒星演化到后期

恒星演化到后期 → 流化

$$\tau = \frac{L}{P}$$

$$K_B = K_0 \rho^{1.5} T^4$$

恒星演化到后期

$$P = K_0 \rho^{1.5} T^4 \approx C_0 \rho^{-0.5} M^{1.5} R^{3n-3} T_{\text{eff}}^{4+n}$$

$$P(\tau = \frac{1}{2}) = \text{const.} \left( \frac{M}{R^2 T_{\text{eff}} b} \right)^{\frac{1}{1+n}}$$

$$\log T_{\text{eff}} \approx \frac{0.75a-0.15}{b+5.5a+1.5} \log L + \frac{0.5a+1.5}{b+5.5a+1.5} \log M + \text{const.}$$

M 增加, 恒星演化到后期

T < 5000 K, a ≈ 1, b ≈ 3 (恒星演化到后期)

恒星演化到后期, α = 1/1.5 ↑, T<sub>eff</sub> ↑

恒星演化到后期, 恒星演化到后期, a = b = 0

恒星演化到后期: 恒星演化到后期, 恒星演化到后期

恒星演化到后期 → 流化  
 恒星演化到后期 → 流化

恒星演化到后期 → 流化  
 恒星演化到后期 → 流化

恒星演化到后期 → 流化  
 恒星演化到后期 → 流化

恒星演化到后期 → 流化  
 恒星演化到后期 → 流化

3000 K T<sub>eff</sub>, 恒星演化到后期

恒星演化到后期 → 流化  
 恒星演化到后期 → 流化

### 二. 中大质量恒星的演化

#### 1. 中等质量恒星的演化 (2M0 ~ 8M0)

与低质量恒星的差别: CNO 循环  
 主序寿命和演化到 RGB 时间不同  
 He 燃烧不同步, 没有 He 闪  
 C 和 O 燃烧更复杂, 燃烧更慢  
 核心区向红, 对流区向蓝  
 外层氦壳区有 He 闪  
 最终可能 CO 或 ONeMg 的残壳

#### 2. 大质量恒星的演化 (> 8M0)

差别: 对流核  
 强星风 → 大量质量损失, 延缓了演化  
 演化快  
 无 C 闪 (Fe 核未形成), 高层元素  
 He 燃烧不稳定  
 星风使大质量恒星在星团、星区之间迁徙  
 形成中星团、星流 SN

观测到的: 超巨星 (蓝、黄、红)  
 > 15M0

model  
 星风不稳定性: 质量损失  
 对流核  
 反冲  
 旋转 ~ 产生区, 增加 mass loss

#### 3. 超大质量恒星的演化

差别: 强星风  $10^{-6} - 10^{-4} M_{\odot} \text{ yr}^{-1}$   
 WR 恒星的演化

演化  $\rightarrow \frac{dM}{dt} \rightarrow WR \text{ 星} \rightarrow I \frac{d}{dt} SN \sim N_{\odot} / \text{GR}$

$$L_{\text{Edd}} = \frac{4\pi GcM}{\kappa} = 3.8 \times 10^4 \frac{M}{M_{\odot}} L_{\odot} \quad \text{HO 极限的 HR diagram}$$

完全电离  $\kappa_{\text{es}} = \sigma_e = 0.2 (1+x) \frac{m_p^2}{m_e}$

观测到: 蓝超, LBV (介于超巨星和 O 型星之间), WR (强星风  $2000 M_{\odot} \text{ yr}^{-1}$  到  $10^3 M_{\odot} \text{ yr}^{-1}$ )

物质损失: 恒星风, 不稳定性的爆发, 潮汐的爆发

#### 三. 超新星和超新星遗迹

定义: 壮观, 短暂, 高能现象  
 超新星爆发: 恒星内部核聚变  
 前身星:  $W_0, 2W_0 \rightarrow Ia$   
 $RSU \rightarrow II P$   
 ...  
 观测到的: I 型 无氢超新星 { Ia 有硅, Ib 有氢, Ic 无氢 } → 壳层  
 II 型 有氢超新星 → II P (H envelope 很厚), II L, II N  
 P-Cygni 特征: 向外膨胀的星云  
 超新星 SN  
 宇宙学: 无氢超新星 Phillips 关系: 最大光度的超新星形成超新星遗迹和天  
 文观测  $h, \Omega_m, \Omega_{\Lambda}$

#### 四. 超新星遗迹

超新星遗迹: 超新星爆发 → 冲击波 →  $\frac{R_{\text{sh}}}{v_{\text{sh}}} \rightarrow \text{激波}$

冲击波:  $P_e \propto \rho v^2, v = \frac{R}{t}$   
 $P_e \propto \rho v^2, v \propto t^{-1}$

超新星: 超新星爆发形成, 中心恒星  $10^{-4} M_{\odot}$   
 如 HR 谱型在下方,  $M, R, \rho \sim 10^{-4} M_{\odot}$

内部结构 - 流体的动力学

$$M_{\text{ch}} = 1.45 \left(\frac{Z}{Z_{\odot}}\right) M_{\text{ch}}$$

$$R_{\text{wd}} = \left(\frac{18\pi}{10}\right)^{1/3} \frac{R_{\odot}^2}{G M_{\text{wd}}} v_{\text{ej}} \left(\frac{t}{A M_{\text{H}}}\right)^{1/2} \quad (R-M \text{ 关系})$$

中心星

超新星爆发后, 中心星  
 速度  $v \propto t^{-1}$   
 $M \sim 1.4 M_{\odot}, R \sim 10 \text{ km}, \rho \approx 1.8 \times 10^{12} \text{ g cm}^{-3}$   
 $M_{\text{OP}} \approx 2-3 M_{\odot}$  (上极限)  
 $R_{\text{NS}} \approx \left(\frac{18\pi}{10}\right)^{1/3} \frac{R_{\odot}^2}{G M_{\text{NS}}} v_{\text{ej}} \left(\frac{t}{A M_{\text{H}}}\right)^{1/2}$

$$L_{\text{wd}} = C T_{\text{e}}^{3/2}$$

$$L_{\text{wd}} = \frac{4\pi R_{\text{wd}}^2 \sigma_{\text{SB}}}{3} \frac{G M_{\text{wd}}}{R_{\text{wd}}} \mu M_{\text{wd}} = 6.65 \times 10^3 \frac{M_{\text{wd}}}{M_{\odot}} \frac{L_{\text{wd}}}{L_{\odot}}$$

$$\tau_{\text{cool}} = \frac{M_{\text{wd}}}{A M_{\text{H}}} \frac{3}{2} kT$$

$$\tau_{\text{cool}} = T_0 \left(\frac{t}{t_0}\right)^{3/2} \quad (\text{壳层冷却})$$

超新星: 冲击波  $\frac{dE}{dt} = -\rho v^2 \frac{dV}{dt} = -\rho v^2 \frac{d}{dt} \left(\frac{4}{3}\pi R^3\right)$

引力红移  $z = \left(1 - \frac{2GM}{rc^2}\right)^{-1/2} - 1$ , Schwarzschild 黑洞  
 $r = \frac{2GM}{c^2} \approx 3 \text{ km} \frac{M}{M_{\odot}}$

# Ch8 双星演化

## 1. 双星系统的引力

标称轨道点. 等势面  $\rightarrow L_1, L_2, L_3, L_4, L_5$

双星系统的元素

- 功的总量
- 角动量
- 开普勒定律

恒星自身角动量  $J = I \omega = \frac{3}{2} M R^2 \sqrt{\frac{2\pi G M}{a(1-e^2)}}$

切向下落质量  $\frac{GM}{R}$

## 2. 吸积量

u 为 1/2. 吸积量. 证明

恒星半径  $T = \left( \frac{GM_T}{8\pi\sigma R^2} \right)^{1/4} (R_T)^{3/4} \xrightarrow{\text{恒星半径}} \underbrace{\left( \frac{3GM_T}{8\pi\sigma R^2} \right)^{1/4}}_{T_{disk}} (R_T)^{3/4} (1 - \sqrt{R_T})^{1/4}$

L disk =  $\frac{GM\dot{M}}{2R}$  为引力势能一半

恒星半径  $L = \sqrt{GM_circ} \dot{M}$

1/4 的总

$R_{circ} \approx a \left( 0.5 - 0.07 \log_{10} \left( \frac{M_2}{M_1} \right) \right)^4 \left( 1 + \frac{M_2}{M_1} \right)$

## 3. 潮汐作用双星

恒星半径随时间  $\frac{1}{\omega} \frac{d\omega}{dt} = -\frac{2}{3} \frac{1}{a} \frac{da}{dt}$

$\frac{1}{a} \frac{da}{dt} = 2M_1 \frac{M_1 - M_2}{M_1 M_2}$

双星演化

$M_1 - M_2 > 0$

↓  
 $M_1$  成为巨星. 充满 Loss 阶段

↓  
 $M_1 < 0$  恒星半径增大  $\frac{d\omega}{dt} > 0, \dot{a} < 0$

↓  
 相同质量. 公共绕质心

↓  
 $M_1$  为 WD,  $M_2$  为巨星. 反向演化

若有恒星流. 潮汐作用双星